

АНИЗОТРОПНАЯ ДВУХЛУЧЕВАЯ БРЭГГОВСКАЯ ДИФРАКЦИЯ В МОНОКРИСТАЛЛЕ TeO_2

С. Н. Антонов, В. М. Котов, Б. Б. Панченков

В работе [1, 2] были найдены условия двухлучевой брэгговской акустооптической (АО) дифракции, заключающейся в одновременном выполнении условий синхронизма для двух оптических лучей на двух акустических волнах. В частности, было показано, что в условиях оптической анизотропии и в неравенстве частот акустических волн угол между волновыми векторами этих волн не равен $\pi/2$. При реализации устройства (управляемого ответвителя оптических каналов) в условиях анизотропной дифракции на кристалле TeO_2 необходимо использовать два кристалла, склеенных так, чтобы их кристаллографические направления [110] составляли угол, отличный от $\pi/2$ [1]. В то же время в TeO_2 направления [110] и [1 $\bar{1}$ 0] идентичны по своим АО свойствам и при распространении вдоль них акустических волн достигается максимальная эффективность АО взаимодействия.

Таким образом, практически интересно найти условия существования анизотропной двухлучевой брэгговской дифракции в TeO_2 при возбуждении сдвиговых акустических колебаний с граней {110} и {1 $\bar{1}$ 0}.

Пусть грани кристалла TeO_2 строго перпендикулярны осям [001], [110] и [1 $\bar{1}$ 0], причем свет распространяется вблизи оси [001], а акустические колебания возбуждаются вдоль направлений [110] и [1 $\bar{1}$ 0]. Анализ условий взаимодействия будем проводить с помощью векторной диаграммы (рис. 1), где Z — оптическая ось кристалла, K_1^0 и K_2^0 — векторы падающих на кристалл световых лучей, причем поляризация первого соответствует обыкновенному лучу, второго — необыкновенному. Отметим, что в силу гиротропии кристалла в общем случае поляризация собственных волн эллиптическая. Волновые векторы акустических волн обозначены q_1 и q_2 .

Одновременное выполнение брэгговских условий приводит к следующим актам взаимодействия:

$$K_2^0 + q_2 = K_3^0, \quad K_2^0 + q_1 = K_4^0, \quad K_1^0 - q_2 = K_4^0, \quad K_1^0 - q_1 = K_3^0, \quad (1)$$

где K_3^0 , K_3^0 , K_4^0 , K_4^0 — волновые векторы дифрагированных лучей. Верхние индексы обозначают тип моды оптических колебаний.

Потребуем далее, чтобы дифрагированные лучи на выходе из кристалла попарно образовали два выходных пучка: K_3^0 и K_3^0 — один пучок, K_4^0 и K_4^0 — другой. Для этого, согласно закону Снеллиуса, необходимо, чтобы K_3^0 , K_3^0 и ось Z принадлежали одной плоскости (аналогично K_4^0 , K_4^0 и Z). Кроме этого, должны быть выполнены условия

$$K_3^0 \sin \theta_1 = K_3^0 \sin \theta_2, \quad K_4^0 \sin \theta_1 = K_4^0 \sin \theta_2, \quad (2)$$

где θ_1 и θ_2 — углы между векторами K_3^0 и K_3^0 и оптической осью соответственно. Совместное решение (1) — (2) приводит к основным соотношениям для анизотропной двухлучевой брэгговской дифракции

$$\sin \varphi_1 = \frac{d}{q_1}, \quad \sin \varphi_2 = \frac{d}{q_2}, \quad (3)$$

где φ_1 и φ_2 — углы наклона векторов q_1 и q_2 к плоскости, ортогональной оптической оси соответственно; d — разность между проекциями K_3^0 и K_3^0 на оптическую ось Z (рис. 1), которая в случае использования TeO_2 , согласно [3], равна:

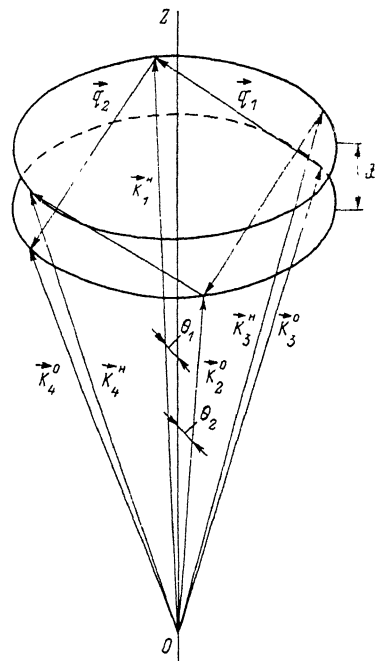


Рис. 1. Векторная диаграмма взаимодействия. S_1 и S_2 — сечения индикатрис необыкновенного и обыкновенного лучей плоскостями, перпендикулярными оптической оси, соответственно.

$$d = \frac{\frac{2\pi}{\lambda_0} n_0 (1 + \delta) \cos \theta_2}{1 - \sin^2 \theta_2 \left[1 - \frac{n_0^2}{n_e^2} (1 + \delta)^2 \right]} \left\{ 1 - \frac{1 - \delta}{1 + \delta} \sqrt{1 + \operatorname{tg}^2 \theta_2 (1 + \delta)^2 \left[\frac{n_0^2}{n_e^2} - \frac{1}{(1 - \delta)^2} \right]} \right\}. \quad (4)$$

Здесь n_0 и n_e — главные показатели преломления кристалла на длине волны света λ_0 , δ — параметр гиротропии.

Угол β между q_1 и q_2 , строго говоря, не равен $\pi/2$ и определяется как

$$\cos \beta = \frac{d^2}{q_1 q_2}, \quad (5)$$

что после разложения в ряд Тейлора приводит к соотношению

$$\beta \approx \frac{\pi}{2} - \frac{d^2}{q_1 q_2}. \quad (6)$$

Практически отличие β от $\pi/2$ перекрывается расходимостью звуковых волн, что и определяет возможность реализации двухлучевой анизотропной брэгговской дифракции при распространении акустических колебаний вдоль направлений [110] и [1̄10] в TeO_2 .

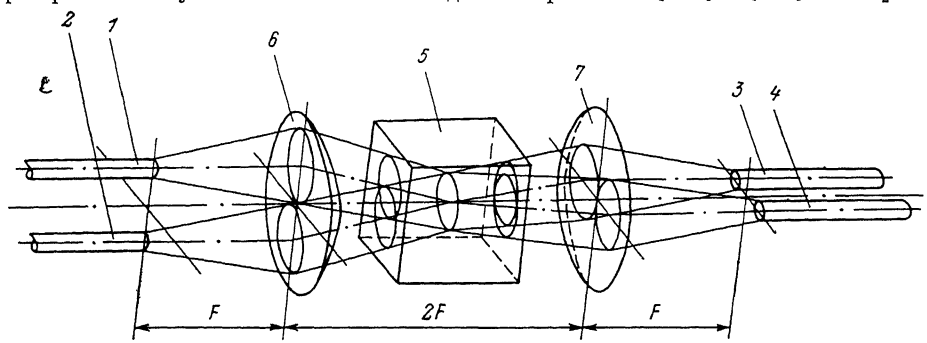


Рис. 2. Оптическая схема устройства.

1, 2 и 3, 4 — входные и выходные оптические волокна соответственно; 5 — монокристалл TeO_2 ; 6, 7 — фокусирующие линзы; F — фокусное расстояние линз.

На основе теоретических данных был изготовлен АО ответвитель, объединенный с волоконными световодами (рис. 2). Устройство демонстрировалось на Международной выставке «Связь-86» [4]. Два пьезопреобразователя сдвиговых волн из LiNbO_3 приклеивались к торцевым граням кристалла TeO_2 , имеющего вид прямоугольного параллелепипеда. Частоты акустических волн составили 57 и 38 МГц. Длина волны оптического излучения равнялась 0.63 мкм. Параметры взаимодействия были следующие: $\theta_1=53.1'$, $\theta_2=53.04'$, $\varphi_1=55.7'$, $\varphi_2=83.4'$, $\beta=89.9^\circ$, $d=93.9 \text{ см}^{-1}$ (все углы даны в кристалле). Необходимые значения углов θ_1 и θ_2 обеспечивались ориентацией торцов волокон относительно линз устройства. Нужные величины углов φ_1 и φ_2 достигались ориентацией кристалла относительно оси симметрии АО ответвителя. Остановимся на последнем обстоятельстве более подробно. Предложенный теоретический алгоритм соответствует совпадению оси симметрии устройства и оптической оси кристалла, при этом, однако, величины углов φ_1 и φ_2 не могут быть «перекрыты» расходимостью акустических волн. В то же время при наклоне оптической оси на угол порядка 2° относительно оси симметрии можно обеспечить необходимые значения φ_1 и φ_2 при практической справедливости расчета, так как поведение индикаторов при этом мало отличается от сфер.

Созданное устройство при управляющей мощности ~ 0.5 Вт обеспечивало суммарные оптические потери не более 6 дБ и развязку между каналами ~ 50 дБ.

Литература

- [1] Антонов С. Н., Гулляев Ю. В., Котов В. М., Поручиков П. В. РиЭ, 1987, т. 32, № 3, с. 623—628.
- [2] Антонов С. Н., Котов В. М. Препринт ИРЭ АН СССР, № 6 (465). М., 1987.
- [3] Warner A. W., White D. L., Bonner W. A. J. Appl. Phys., 1972, v. 43, N 1, p. 4489—4495.
- [4] Акустический коммутатор. Проспект Международной выставки «Связь-86» (советские экспонаты). М.: Внешторгиздат, 1986, с. 199.